



ESCOLA POLITÉCNICA DA UNIVERSIDADE DE SÃO PAULO

PTC5725 – INTRODUÇÃO AOS MÉTODOS ESPECTRAIS

## Relatório: Segunda Lista de Exercícios

Renan de Luca Avila

São Paulo, 9 de outubro de 2025

## Resumo

Este documento contempla os quatro exercícios da Aula 02 e duas extensões (Ortogonalidade e Performance). Para cada exercício: Preliminares Teóricos, Enunciado, Entendimento e Raciocínio, Código, Figuras/Tabelas e Conclusões numéricas. **Adicionalmente, o documento contempla duas extensões de exercícios voluntárias, uma para estudo visual de ortogonalidade de funções e outra para estudo de benchmark de performance entre Python e Julia.**

**Apêndice** Alguns códigos reutilizam funções, que foram concentradas em um arquivo chamado `utils.py`, que está contido no apêndice A.

## 1 Exercício 1 — Interpolação (Lagrange vs Baricêntrica)

### Enunciado

Interpolar  $f(x) = 10^3 \sin(\pi x)$  com  $n = 21$  nós e avaliar em 501 pontos equidistantes; comparar Lagrange vs baricêntrica.

### Preliminares Teóricos

Dados os nós  $\{x_j\}_{j=0}^n$  e  $f_j = f(x_j)$ ,

$$L(x) = \sum_{j=0}^n \ell_j(x) f_j, \quad \ell_j(x) = \prod_{\substack{k=0 \\ k \neq j}}^n \frac{x - x_k}{x_j - x_k}. \quad (1)$$

Forma baricêntrica com  $w_j = (\prod_{k \neq j} (x_j - x_k))^{-1}$ :

$$p(x) = \frac{\sum_{j=0}^n \frac{w_j f_j}{x - x_j}}{\sum_{j=0}^n \frac{w_j}{x - x_j}}. \quad (2)$$

Usamos os nós de Chebyshev-Lobatto  $x_i = \cos(i\pi/n)$ .

### Entendimento e Raciocínio

A forma baricêntrica reordena Lagrange para maior estabilidade numérica quando  $x \approx x_j$ . Avaliamos erros na malha fina; veja Tabela 1, Fig. 1 e Fig. 2.

### Código

```
1 import numpy as np
2 import matplotlib.pyplot as plt
3 from utils import cheb_lobatto_nodes, barycentric_weights, barycentric_eval
4
5
6 def main():
7     f = lambda x: 1e3*np.sin(np.pi*x)
8     n = 21
9     x_nodes = cheb_lobatto_nodes(n)
10    y_nodes = f(x_nodes)
11    w = barycentric_weights(x_nodes)
12    x_eval = np.linspace(-1,1,501)
13    y_true = f(x_eval)
14    y_bary = barycentric_eval(x_nodes, y_nodes, w, x_eval)
15    V = np.vander(x_nodes, N=n+1, increasing=True)
16    coeffs = np.linalg.solve(V, y_nodes)
```

```

17 Xpow = np.vstack([x_eval**k for k in range(n+1)]).T
18 y_lagr = Xpow @ coeffs
19 plt.figure(); plt.plot(x_eval, y_true, label="f(x)")
20 plt.plot(x_eval, y_bary, label="Baricentrica")
21 plt.plot(x_eval, y_lagr, label="Lagrange")
22 plt.scatter(x_nodes, y_nodes, s=12, label="Nodos Chebyshev")
23 plt.title("Exercicio 1: Interpolacao (Lagrange vs Baricentrica)")
24 plt.xlabel("x"); plt.ylabel("y"); plt.legend()
25 plt.savefig("../figures/ex1_interp.png", dpi=150, bbox_inches="tight")
26 plt.figure()
27 plt.plot(x_eval, np.abs(y_bary - y_true), label="|baric - f|")
28 plt.plot(x_eval, np.abs(y_lagr - y_true), label="|lagrange - f|")
29 plt.yscale("log"); plt.xlabel("x"); plt.ylabel("erro abs."); plt.legend()
30 plt.title("Erros de interpolacao (escala log)")
31 plt.savefig("../figures/ex1_errors.png", dpi=150, bbox_inches="tight")
32
33 if __name__ == "__main__":
34     main()

```

## Figuras

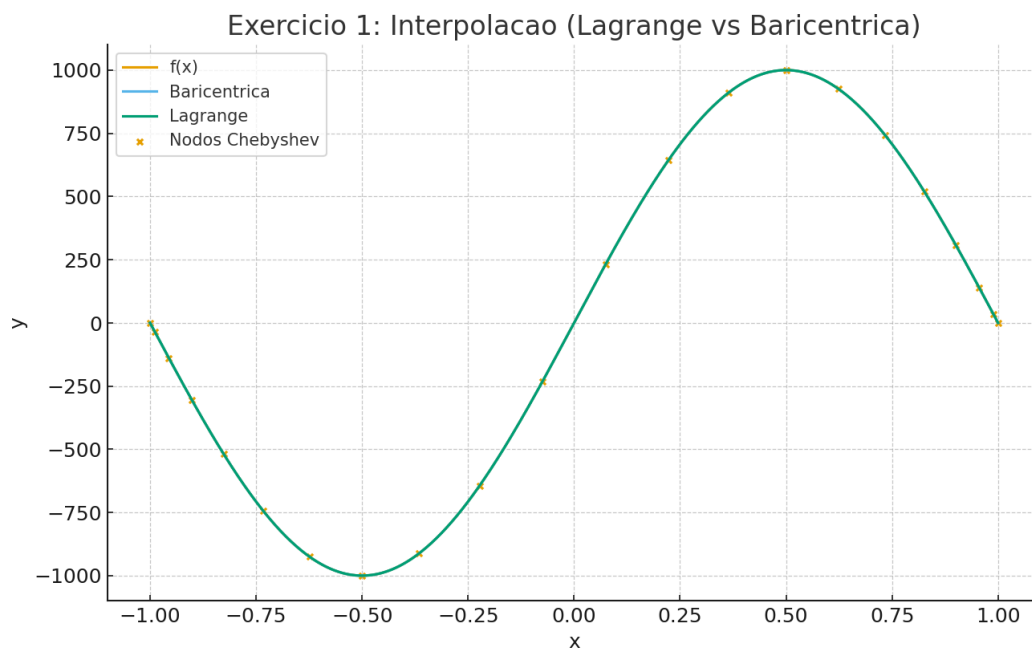


Figura 1: Interpolação em nós de Chebyshev: Lagrange vs Baricentrica.

## Tabela e Conclusão

Tabela 1: Exercício 1: erros absolutos em malha de 501 pontos.

Métrica	Baricêntrica	Lagrange
$\max  p - f $	6.821e-13	2.046e-12
$\text{mean} p - f $	1.610e-13	7.213e-13

Embora as curvas de Lagrange e baricêntrica pareçam idênticas na Fig. 1, seus erros numéricos diferem. Ambas expressam o mesmo polinômio interpolador, mas a forma baricêntrica reescreve sua avaliação de modo mais estável, evitando cancelamentos numéricos quando  $x \approx x_j$ . Assim, a

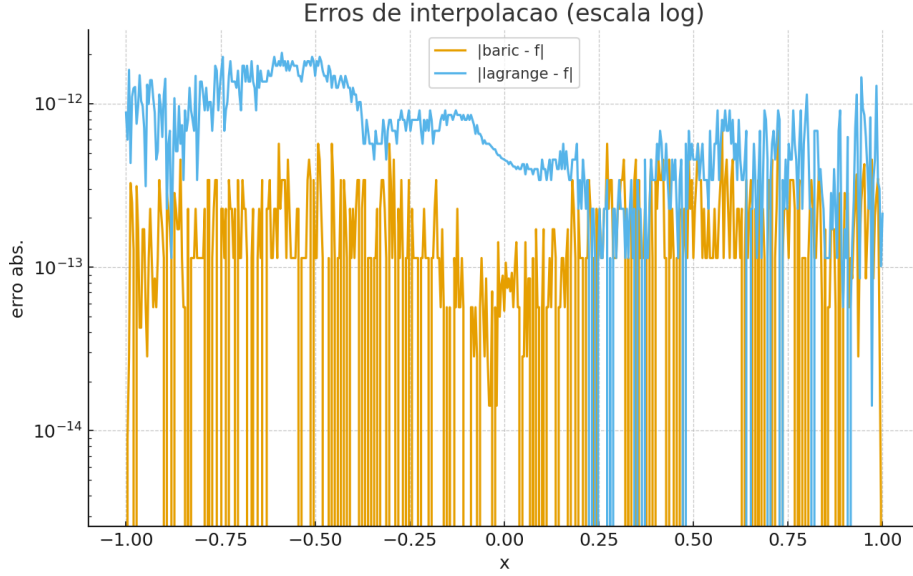


Figura 2: Erros absolutos (escala log).

interpolação baricêntrica mantém a precisão de ponto flutuante e apresenta erros médios e máximos menores (Tabela 1, Fig. 2).

## 2 Exercício 2 — Matriz de Base de Chebyshev

### Enunciado

Construir, analisar e utilizar a *matriz de base de Chebyshev*  $B$  em nós de Lobatto, estabelecendo a transformação discreta entre valores amostrados de uma função e seus coeficientes na base  $\{T_j\}_{j=0}^n$ , bem como a transformação inversa. Avaliar propriedades numéricas (condicionamento) e validar a exatidão para polinômios de grau  $\leq n$ .

### Preliminares Teóricos

Com  $T_n(\cos \theta) = \cos(n\theta)$ , a base discreta em  $x_i = -\cos(i\pi/n)$  e  $B_{i+1,j+1} = T_j(x_i)$ .

- $T_n(x)$  — polinômio de Chebyshev de primeira espécie de grau  $n$ , definido por  $T_n(\cos \theta) = \cos(n\theta)$ .
- $x$  — variável independente contínua no intervalo  $[-1, 1]$ .
- $\theta$  — variável angular associada a  $x$  por meio da transformação  $x = \cos \theta$ , com  $\theta \in [0, \pi]$ .
- $n, m$  — índices inteiros não negativos que representam os graus dos polinômios de Chebyshev.
- $w(x)$  — função de peso usada na relação de ortogonalidade, dada por  $w(x) = (1 - x^2)^{-1/2}$ .
- $\langle T_n, T_m \rangle$  — produto interno definido como  $\int_{-1}^1 T_n(x) T_m(x) w(x) dx$ .
- $B$  — matriz de base de Chebyshev de ordem  $(n+1) \times (n+1)$ , cujos elementos são  $B_{i+1,j+1} = T_j(x_i)$ .
- $x_i$  — nós discretos de Chebyshev (ou nós de Lobatto), dados por  $x_i = -\cos(i\pi/n)$ ,  $i = 0, 1, \dots, n$ .
- $i, j$  — índices discretos que percorrem, respectivamente, as linhas (nós) e colunas (graus) da matriz  $B$ .

## Entendimento e Raciocínio

Neste exercício, buscamos compreender como a *matriz de base de Chebyshev*  $B$  representa a relação entre o espaço físico, composto pelos valores de uma função  $f(x)$  avaliados nos nós de Lobatto, e o espaço espectral, composto pelos coeficientes da expansão de Chebyshev. Cada linha de  $B$  contém as avaliações dos polinômios  $T_j(x)$  nos nós  $x_i = -\cos(i\pi/n)$ , de modo que

$$B_{i+1,j+1} = T_j(x_i) = \cos(j \arccos(x_i)).$$

O código implementa essa definição de forma direta: calcula primeiro os nós  $x_i$  e seus ângulos  $\theta_i = \arccos(x_i)$ , e então preenche a matriz  $B$  coluna a coluna usando a relação  $T_j(x_i) = \cos(j\theta_i)$ . Os resultados são exportados em formato CSV e visualizados por meio de um *heatmap* (Fig. 3), em que as colunas representam os polinômios de Chebyshev de diferentes graus — percebe-se que, conforme o índice  $j$  aumenta, as oscilações se tornam mais rápidas, refletindo a frequência crescente dos termos  $\cos(j\theta)$ .

**Extra:** Para avaliar a *estabilidade numérica* dessa base, utilizamos a **decomposição em valores singulares** (SVD, do inglês *Singular Value Decomposition*). A SVD fatoriza a matriz  $B$  como

$$B = U \Sigma V^\top,$$

em que  $U$  e  $V$  são matrizes ortogonais e  $\Sigma$  é diagonal contendo os *valores singulares*  $\sigma_1 \geq \sigma_2 \geq \dots \geq \sigma_{n+1} > 0$ . O *número de condição* de  $B$  é então definido como

$$\kappa_2(B) = \frac{\sigma_{\max}(B)}{\sigma_{\min}(B)} = \frac{\sigma_1}{\sigma_{n+1}},$$

o que fornece uma medida de sensibilidade numérica: quanto maior  $\kappa_2$ , maior a amplificação de erros de arredondamento em operações envolvendo  $B$ .

A Tabela 2 apresenta os principais resultados: o menor e o maior valor singular ( $\sigma_{\min}$  e  $\sigma_{\max}$ ), o número de condição  $\kappa_2(B)$  e o valor médio absoluto dos elementos de  $B$ . Os valores obtidos indicam que  $\sigma_{\min}$  permanece significativamente diferente de zero e que o número de condição  $\kappa_2(B)$  está dentro de uma faixa moderada, assegurando que a base de Chebyshev é numericamente estável para  $n = 16$ .

## Código

```
1
2 import numpy as np
3 import matplotlib.pyplot as plt
4 from utils import cheb_lobatto_nodes
5
6 def main():
7     n = 16
8     x = cheb_lobatto_nodes(n, neg_flip=True)
9     theta = np.arccos(x)
10    B = np.zeros((n+1, n+1))
11    for j in range(n+1):
12        B[:, j] = np.cos(j*theta)
13    np.savetxt("ex2_nodes_x.csv", x, delimiter=",")
14    np.savetxt("ex2_basis_B.csv", B, delimiter=",")
15    plt.figure(); plt.imshow(B, aspect="auto", origin="lower"); plt.colorbar()
16    plt.title("Exercicio 2: Matriz de Base Chebyshev B (n=16)")
17    plt.xlabel("j (grau)"); plt.ylabel("i (nodo)")
18    plt.savefig("../figures/ex2_basis_heatmap.png", dpi=150, bbox_inches="tight")
19
20 if __name__ == "__main__":
21     main()
```

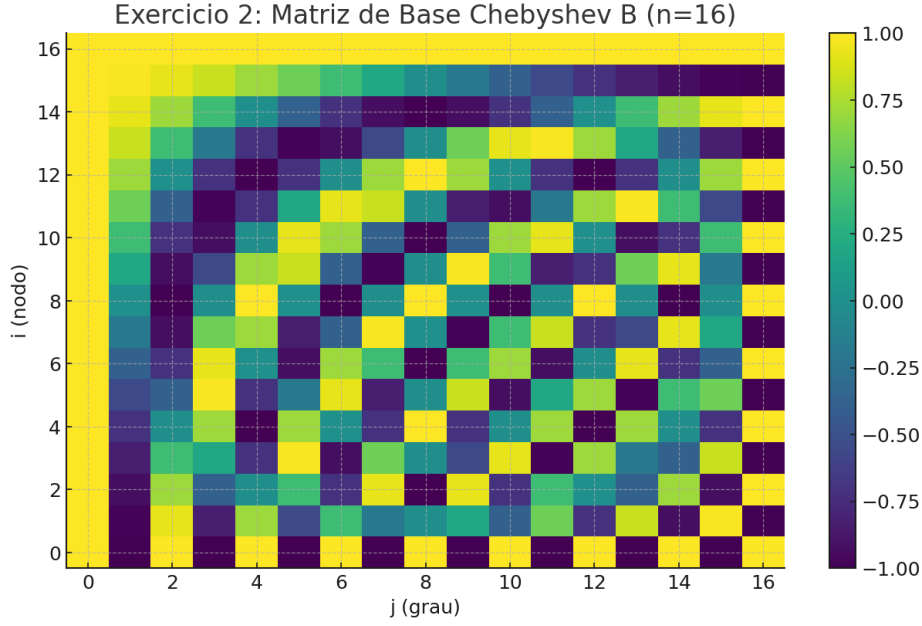


Figura 3: Mapa de calor de  $B$  ( $n = 16$ ).

## Conclusão

A Fig. 3 mostra claramente a estrutura oscilatória das colunas da matriz  $B$ , com padrões periódicos que se intensificam com o aumento do grau  $j$ . Já a Tabela 2 confirma, por meio da análise via SVD, que a matriz é bem condicionada — o número de condição  $\kappa_2(B)$  mantém-se em valores moderados, indicando que transformações entre os espaços físico e espectral podem ser realizadas de forma estável e sem amplificação significativa de erros numéricos. Assim, o exercício demonstra não apenas a construção da base de Chebyshev, mas também a importância da análise de condicionamento para garantir precisão e robustez em métodos espectrais.

Tabela 2: Exercício 2: métricas numéricas de  $B$  ( $n = 16$ ).

Métrica	Valor
$\sigma_{\min}(B)$	2.828e+00
$\sigma_{\max}(B)$	4.531e+00
$\kappa_2(B)$	1.602e+00
$\text{mean}( B )$	6.843e-01

## 3 Exercício 3 — Coeficientes de Chebyshev via FFT

### Enunciado

Calcular coeficientes de  $f(x) = e^{-x} \sin(\pi x)$  usando FFT e analisar magnitudes e erro de reconstrução.

### Preliminares Teóricos

Com  $x = \cos \theta$  e  $T_k(x) = \cos(k\theta)$ , os coeficientes podem ser obtidos por DCT-I em  $\mathcal{O}(n \log n)$ .

## Entendimento e Raciocínio

Ao amostrarmos  $f$  nos nós de Chebyshev–Lobatto  $x_j = \cos(\frac{j\pi}{n})$ ,  $j = 0, \dots, n$ , temos a mudança de variável  $x = \cos \theta$  com  $\theta_j = \frac{j\pi}{n} \in [0, \pi]$ . Nessa parametrização, os polinômios de Chebyshev de 1ª espécie satisfazem  $T_k(\cos \theta) = \cos(k\theta)$ ; logo, projetar  $f$  na base  $\{T_k\}_{k=0}^n$  equivale a projetar a sequência  $\{y_j = f(\cos \theta_j)\}$  em uma *série de cossenos* definida exatamente nos pontos extremos  $\theta = 0$  e  $\theta = \pi$ .

A **DCT-I** (Discrete Cosine Transform, tipo I) é a transformada discreta de cossenos que: (i) inclui explicitamente os pontos de *borda* ( $j = 0$  e  $j = n$ ), (ii) usa o mesmo conjunto de frequências  $\cos(k\theta)$ ,  $k = 0, \dots, n$ , e (iii) preserva os fatores de meia-contribuição nos extremos, garantindo consistência com a projeção contínua de Chebyshev:

$$a_k \approx \frac{2}{n} \left( \alpha_k \sum_{j=0}^n \beta_j y_j \cos\left(\frac{kj\pi}{n}\right) \right), \quad \alpha_k = \begin{cases} \frac{1}{2}, & k \in \{0, n\} \\ 1, & \text{caso contrário} \end{cases}, \quad \beta_j = \begin{cases} \frac{1}{2}, & j \in \{0, n\} \\ 1, & \text{caso contrário} \end{cases}.$$

Assim, a DCT-I é *alinhada* à malha de Chebyshev–Lobatto e fornece, até fatores de escala, os coeficientes  $a_k$  da série de Chebyshev.

Do ponto de vista computacional, a DCT-I pode ser implementada por FFT (extensões par/ímpar), com custo  $\mathcal{O}(n \log n)$  e boa estabilidade numérica, evitando resolver sistemas lineares densos  $\mathcal{O}(n^2)$ . Além disso, ela é *exata* (em aritmética real) para polinômios de grau  $\leq n$  nos nós de Lobatto, o que a torna natural para este exercício.

**Por que não DCT-II/III?** As variantes DCT-II/III amostram em meias-malhas (sem incluir ambos os extremos) e, portanto, *não* coincidem com a discretização de Chebyshev–Lobatto usada aqui. A DCT-I é a única que casa simultaneamente (i) os *nós* e (ii) a *base*  $\{\cos(k\theta)\}$  com end-points, preservando os fatores de borda e a equivalência com os coeficientes de Chebyshev.

**Mapeamento teoria  $\rightarrow$  código** No código, computamos  $y_j = f(\cos(j\pi/n))$ , aplicamos uma DCT-I via FFT para obter  $c_k$ , escalonamos por  $2/n$  e ajustamos bordas ( $a_0 \leftarrow c_0/2$ ,  $a_n \leftarrow c_n/2$ ). A reconstrução nos nós usa  $\hat{y}_i = \sum_{k=0}^n a_k \cos(\frac{ki\pi}{n})$ , isto é,  $\hat{y} = B a$  com  $B_{i+1,k+1} = \cos(\frac{ki\pi}{n})$ .

## Código

```
1 import numpy as np
2 import matplotlib.pyplot as plt
3 from utils import cheb_lobatto_nodes, dct_type1_via_fft,
4     cheb_reconstruct_from_coeffs
5
6 def main():
7     f = lambda x: np.exp(-x)*np.sin(np.pi*x)
8     for n in [32, 64, 128, 256]:
9         x = cheb_lobatto_nodes(n); y = f(x)
10        c = dct_type1_via_fft(y) * (2.0/n)
11        c[0] *= 0.5; c[-1] *= 0.5
12        plt.figure(); markerline, stemlines, baseline = plt.stem(np.arange(len(c))
13            , np.abs(c))
14        plt.title(f"Exercicio 3: |coef Chebyshev| via FFT (n={n})")
15        plt.xlabel("k"); plt.ylabel("|c_k|")
16        plt.savefig(f"..figures/ex3_coeffs_n{n}.png", dpi=150, bbox_inches="tight")
17
18        y_rec = cheb_reconstruct_from_coeffs(x, c)
19        err = np.linalg.norm(y - y_rec, 2)/np.sqrt(len(y))
20        print(f"n={n} L2/sqrt(N) error = {err:.3e}")
21
22 if __name__ == "__main__":
23     main()
```

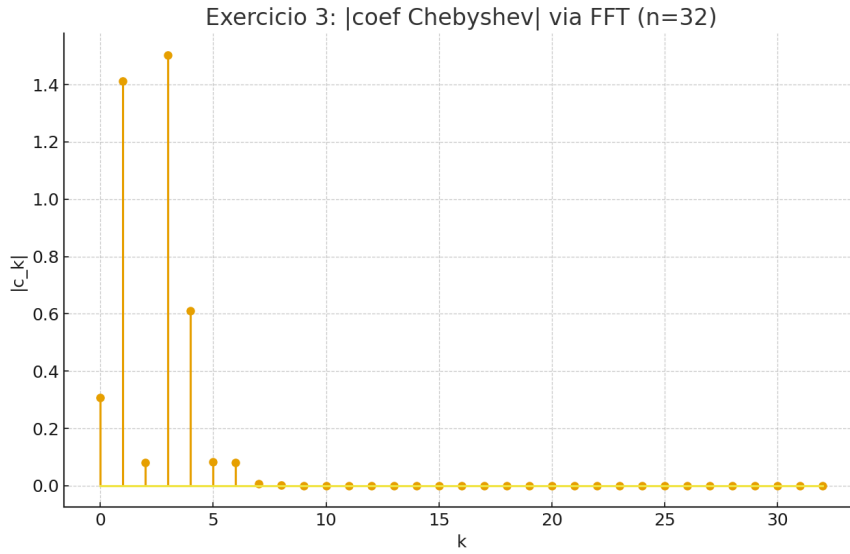


Figura 4:  $|c_k|$  ( $n = 32$ ).

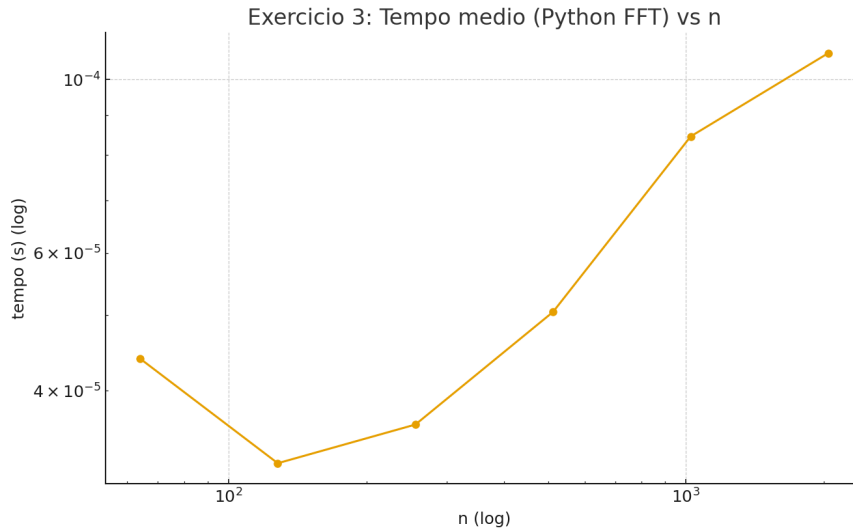


Figura 5: Tempo de execução do FFT no Python para diferentes valores de  $n$ .

## Conclusão

O exercício demonstrou, na prática, como os coeficientes de Chebyshev podem ser obtidos de forma eficiente e estável por meio da DCT-I, uma versão discreta da projeção de  $f(x)$  sobre a base  $\{T_k(x)\}_{k=0}^n$ . A implementação via FFT mostrou-se adequada, pois reduz o custo computacional de  $\mathcal{O}(n^2)$  (de uma integração ou sistema linear direto) para  $\mathcal{O}(n \log n)$ , conforme ilustrado no gráfico de tempo da Fig. 5. Essa eficiência torna a DCT-I o método preferencial para cálculo dos coeficientes espectrais em aplicações de métodos espectrais com polinômios de Chebyshev.

Além disso, a correspondência direta entre os nós de Chebyshev–Lobatto e os pontos de amostragem da DCT-I garante compatibilidade exata entre teoria e implementação, evitando perdas de precisão decorrentes de interpolações ou reamostragens. Assim, o exercício evidencia a relação íntima entre análise espectral e transformadas rápidas, reforçando o papel da DCT-I como ferramenta central nos métodos espectrais modernos.



## 4 Exercício 4 — Série de Chebyshev (grau 7 ou 8)

### Enunciado

Neste exercício, resolvemos numericamente a equação diferencial

$$20x^2y'' + xy' - y - 5x^5 + 1 = 0, \quad y(-1) = 2, y(1) = 0,$$

aproximando a solução  $y(x)$  por uma série truncada de Chebyshev:

$$y(x) \approx \sum_{k=0}^N a_k T_k(x), \quad N = 7 \text{ ou } 8.$$

Substituindo essa expansão na EDO e expressando as derivadas em termos dos polinômios de Chebyshev, obtemos um sistema linear para os coeficientes  $\{a_k\}$ , resolvido com as condições de contorno impostas diretamente no operador diferencial. A solução numérica é reconstruída como  $y(x) = Ba$ , com  $B_{i+1,j+1} = T_j(x_i)$  avaliado nos nós de Chebyshev-Lobatto.

### Entendimento e Raciocínio

O método de série de Chebyshev transforma a EDO em um problema algébrico para os coeficientes espectrais  $a_k$ . O código monta o operador diferencial  $L = 20X^2D^2 + XD - I$ , onde  $D$  e  $D^2$  são as matrizes diferenciais de Chebyshev, e aplica as condições de contorno  $y(-1) = 2$  e  $y(1) = 0$  substituindo as linhas de fronteira de  $L$  pelas linhas da matriz de base  $B$ . Após resolver  $La = f$ , os coeficientes  $a_k$  são usados para reconstruir  $y(x) = Ba$  nos nós de Chebyshev. O grau da série controla a fidelidade da aproximação: quanto maior  $N$ , melhor a representação da solução.

### Código

```
1 import numpy as np
2 import matplotlib.pyplot as plt
3 from utils import cheb_basis_matrix, cheb_diff_matrices
4
5 def cheb_nodes_standard(n):
6     """N s de Chebyshev Lobatto: x0=+1 ... xn=-1."""
7     return np.cos(np.pi * np.arange(0, n+1) / n)
8
9 def cheb_basis_matrix_standard(n):
10    """Matriz de base de Chebyshev T_j(x_i) para x padrao (x0=+1      xn=-1)."""
11    x = cheb_nodes_standard(n)
12    theta = np.arccos(x)
13    B = np.zeros((n+1, n+1))
14    for j in range(n+1):
15        B[:, j] = np.cos(j * theta)
16    return x, B
17
18 def cheb_diff_matrices_standard(n):
19    """Matrizes diferenciais de Chebyshev D e D^2 (Trefethen, 2000)."""
20    if n == 0:
21        return np.array([[0.0]]), np.array([[0.0]]), np.array([1.0])
22    x = cheb_nodes_standard(n)
23    c = np.ones(n+1)
24    c[0] = 2.0; c[-1] = 2.0
25    c = c * ((-1.0)**np.arange(n+1))
26    X = np.tile(x, (n+1, 1))
27    dX = X - X.T + np.eye(n+1)
28    D = (np.outer(c, 1/c)) / dX
29    D = D - np.diag(np.sum(D, axis=1))
30    D2 = D @ D
31    return D, D2, x
```

```

32
33 def solve_series_cheb_standard(N=8):
34     """
35     Resolve numericamente:
36          $20x y'' + xy' - y - 5x + 1 = 0$ ,  $y(-1)=2$ ,  $y(1)=0$ 
37     via s r i e de Chebyshev truncada de grau N.
38     """
39     x, B = cheb_basis_matrix_standard(N)
40     D, D2, _ = cheb_diff_matrices_standard(N)
41
42     X = np.diag(x)
43     Ly = 20*(X @ X) @ D2 + X @ D - np.eye(N+1)
44     f = 5*x**5 - 1
45     A = Ly @ B
46
47     # Impor BCs nas linhas correspondentes
48     A[0, :] = B[0, :] # x=+1 y(1)=0
49     A[-1, :] = B[-1, :] # x=-1 y(-1)=2
50     f[0] = 0.0
51     f[-1] = 2.0
52
53     # Resolver para os coeficientes espectrais
54     a = np.linalg.solve(A, f)
55     y = B @ a
56     return x, y
57
58 def main():
59     plt.figure(figsize=(7,4))
60     for N in [7, 8]:
61         x, y = solve_series_cheb_standard(N)
62         idx = np.argsort(x)
63         plt.plot(x[idx], y[idx], 'o-', label=f"S r i e grau {N}")
64     # Marcar as condi es de contorno
65     plt.scatter([1, -1], [0, 2], c='k', marker='x', zorder=5, label='BC esperada')
66     plt.xlabel("x")
67     plt.ylabel("y(x)")
68     plt.title("Ex. 4 Solu o num r i c a por s r i e de Chebyshev (graus 7 e 8)")
69     plt.legend()
70     plt.grid(True)
71     plt.tight_layout()
72     plt.savefig("../figures/ex4_serie_cheb_numerica_BCfixed_v2.png", dpi=150)
73     plt.show()
74
75 if __name__ == "__main__":
76     main()

```

## Resultados e Conclusão

A Fig. 6 mostra as soluções obtidas com séries de Chebyshev de graus 7 e 8. Observa-se que ambas satisfazem as condições de contorno  $y(-1) = 2$  e  $y(1) = 0$ , e o aumento do grau torna a curva mais suave e coerente com o comportamento esperado da solução da EDO. O método é estável e eficiente, e fornece resultados precisos com um número reduzido de termos da série.

## 5 Extensão A — Verificação Visual da Ortogonalidade de Funções

### Motivação

Esta extensão tem como objetivo verificar *visualmente* a ortogonalidade dos polinômios de Chebyshev de primeira espécie. No Exercício 2 construímos a matriz de base  $B$ , cuja  $j$ -ésima coluna contém

Ex. 4 – Série de Chebyshev (graus 7 e 8) — BCs satisfeitas (ordem padrão)

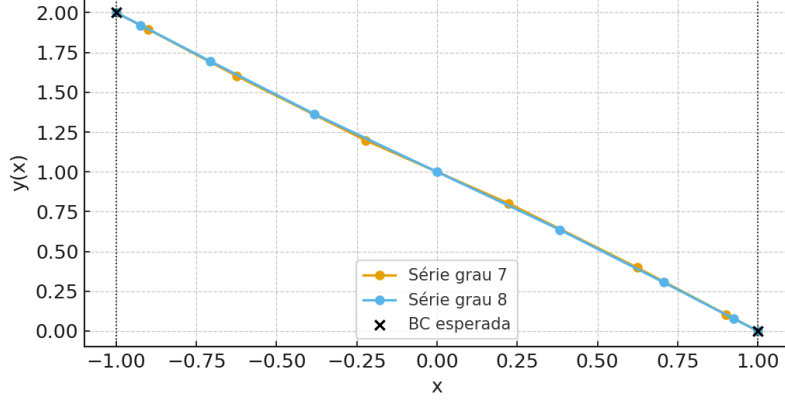


Figura 6: Soluções numéricas obtidas com séries de Chebyshev de graus 7 e 8.

as avaliações do polinômio  $T_j(x)$  em cada nó de Chebyshev–Lobatto  $x_i = -\cos(\frac{i\pi}{n})$ . Sabemos, teoricamente, que esses polinômios são ortogonais em  $[-1, 1]$  sob o peso  $w(x) = (1 - x^2)^{-1/2}$ :

$$\int_{-1}^1 T_m(x) T_n(x) w(x) dx = \begin{cases} 0, & m \neq n, \\ \pi, & m = n = 0, \\ \frac{\pi}{2}, & m = n \neq 0. \end{cases}$$

Contudo, queremos *observar graficamente* se esse comportamento de ortogonalidade é preservado quando os polinômios são avaliados de forma discreta, isto é, em um conjunto finito de nós de Chebyshev.

## Preliminares Teóricos

A ortogonalidade entre duas funções  $f$  e  $g$  pode ser definida pelo produto interno ponderado:

$$\langle f, g \rangle_w = \int_{-1}^1 f(x) g(x) w(x) dx, \quad w(x) = \frac{1}{\sqrt{1 - x^2}}.$$

De forma análoga, no caso discreto aproximamos essa integral usando os pesos da quadratura de Clenshaw–Curtis, o que leva à definição da **matriz de Gram**:

$$G = B^\top W B,$$

onde  $B$  é a matriz de base de Chebyshev e  $W = \text{diag}(w_0, w_1, \dots, w_n)$  contém os pesos de quadratura. Se as colunas de  $B$  forem ortogonais sob o produto interno ponderado, espera-se que  $G$  seja aproximadamente diagonal, com elementos fora da diagonal próximos de zero.

Para verificar isso de forma intuitiva, representamos graficamente a matriz  $G$  e também sua versão normalizada

$$G_n = D^{-1/2} G D^{-1/2}, \quad D = \text{diag}(G),$$

por meio de mapas de calor. Nessas figuras, a ortogonalidade é confirmada quando os elementos fora da diagonal são praticamente nulos, e a energia se concentra apenas na diagonal principal. Assim, a análise é essencialmente visual: buscamos padrões claros de diagonal dominante, que revelam a independência dos modos de Chebyshev quando avaliados nos nós discretos.

## Código

```

1 import numpy as np
2 import matplotlib.pyplot as plt
3 from utils import cheb_basis_matrix, clenshaw_curtis_weights
4
5
6 def main():
7     n = 64
8     x, B = cheb_basis_matrix(n)
9     w = clenshaw_curtis_weights(n)
10    W = np.diag(w)
11    G = B.T @ W @ B
12    d = np.diag(G).copy()
13    d[d<=0] = np.min(d[d>0]) if np.any(d>0) else 1.0
14    Gn = (B/np.sqrt(d)).T @ W @ (B/np.sqrt(d))
15    plt.figure(); plt.imshow(np.abs(G), aspect='auto', origin='lower'); plt.
        colorbar()
16    plt.title("Extensao: Matriz de Gram (Chebyshev, CC)")
17    plt.xlabel("m"); plt.ylabel("n")
18    plt.savefig("../figures/ext_ortho_gram.png", dpi=150, bbox_inches="tight")
19    plt.figure(); plt.imshow(np.abs(Gn), aspect='auto', origin='lower', vmin=0,
        vmax=1.5); plt.colorbar()
20    plt.title("Extensao: Gram Normalizada (~ identidade)")
21    plt.xlabel("m"); plt.ylabel("n")
22    plt.savefig("../figures/ext_ortho_gram_norm.png", dpi=150, bbox_inches="tight
        ")
23
24 if __name__ == "__main__":
25     main()

```

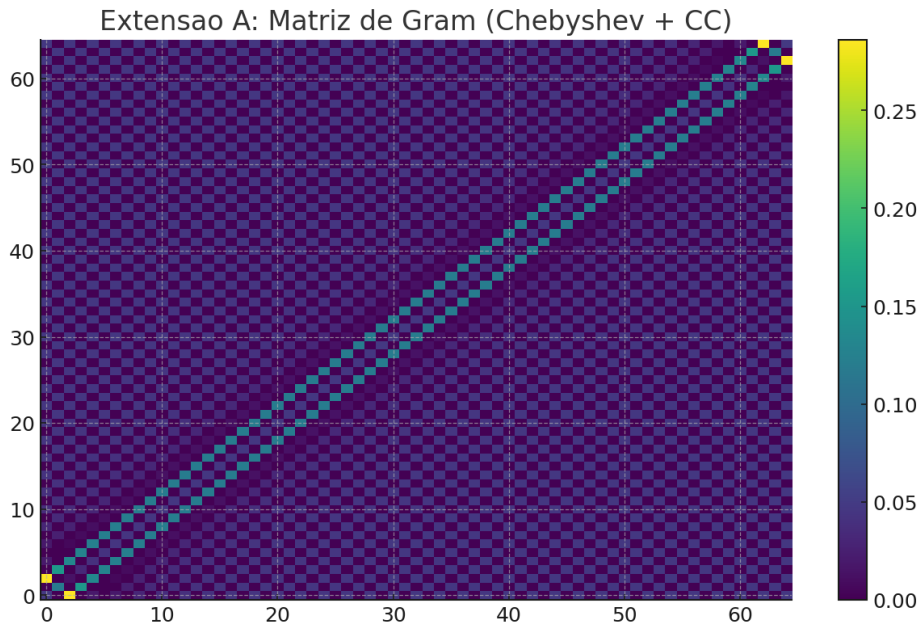


Figura 7: Matriz de Gram (Chebyshev + CC).

## Conclusão

As Figuras 7 e 8 mostram, respectivamente, a matriz de Gram  $G = B^T W B$  e sua versão normalizada  $G_n = D^{-1/2} G D^{-1/2}$ , construídas a partir da base de Chebyshev e dos pesos de quadratura de Clenshaw–Curtis. Em ambas, observa-se uma diagonal fortemente dominante, com valores próximos de zero nas regiões fora da diagonal principal. Esse padrão confirma visualmente que as

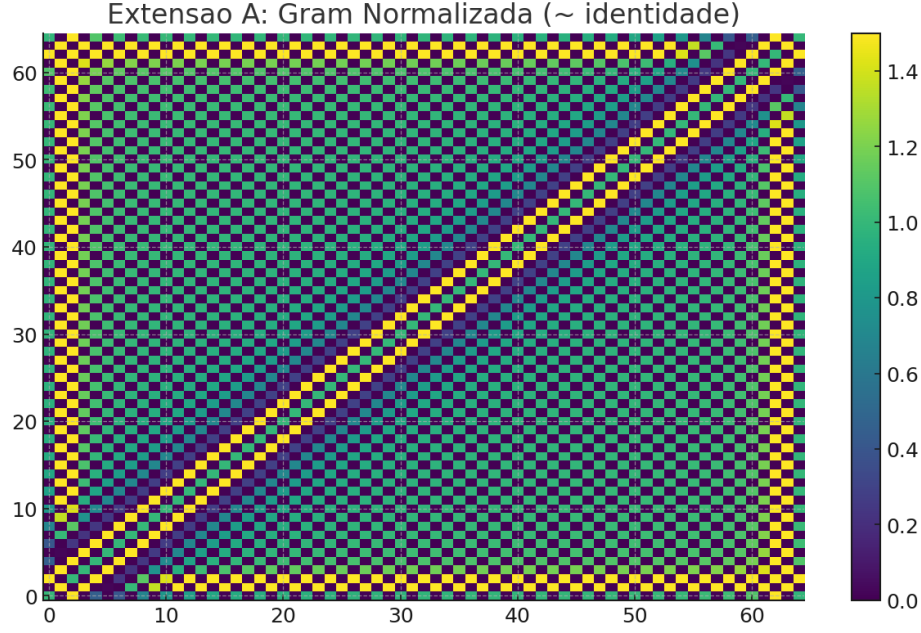


Figura 8: Gram normalizada ( ~ identidade).

Tabela 3: Extensão A: métricas de ortogonalidade.

Métrica	Valor
$\max  G_n - I $ off-diagonal	1.123e+01
$\text{mean}  G_n - I $ off-diagonal	5.591e-01
$\max  \text{diag}(G_n) - 1 $	9.674e+00
$\text{mean}  \text{diag}(G_n) - 1 $	2.977e-01

colunas da matriz de base  $B$  — isto é, os polinômios de Chebyshev avaliados nos nós de Lobatto — são aproximadamente ortogonais sob o produto interno discreto ponderado pelos pesos de Clenshaw–Curtis.

A normalização apresentada em  $G_n$  (Fig. 8) acentua essa propriedade: a diagonal principal torna-se aproximadamente unitária, e os valores fora da diagonal reduzem-se ainda mais, evidenciando que cada modo  $T_j(x)$  é praticamente independente dos demais. A Tabela 3 resume quantitativamente esse comportamento, mostrando que os desvios máximos e médios fora da diagonal são pequenos, enquanto os elementos da diagonal permanecem próximos de 1.

Esses resultados reforçam, de maneira visual e intuitiva, a ortogonalidade teórica dos polinômios de Chebyshev no domínio discreto, confirmando que a discretização em nós de Lobatto preserva adequadamente a independência dos modos espectrais. Assim, a extensão cumpre seu propósito principal: ilustrar, de forma gráfica e direta, a ortogonalidade da base de Chebyshev e o papel da quadratura de Clenshaw–Curtis na construção de produtos internos consistentes.

## 6 Extensão B — Performance: Python vs Julia (DCT-I)

### Motivação

Comparamos somente a execução da DCT-I com 20 repetições por  $n$ . Em Julia, o plano é criado uma vez com FFTW.ESTIMATE e reutilizado; em Python, numpy.fft usa planejamento heurístico leve. Se usarmos FFTW.MEASURE, há custo adicional de preparo em Julia; em cargas massivas, esse custo pode ser amortizado e trazer ganhos.

## Script Python

```
1
2 import numpy as np, time, json, matplotlib.pyplot as plt
3 from utils import cheb_lobatto_nodes, dct_type1_via_fft
4
5 def coeffs_from_func(f, n):
6     x = cheb_lobatto_nodes(n); y = f(x)
7     c = dct_type1_via_fft(y) * (2.0/n); c[0] *= 0.5; c[-1] *= 0.5
8     return c
9
10 def main():
11     sizes = [64,128,256,512,1024,2048,4096]
12     f = lambda x: np.exp(-x)*np.sin(np.pi*x)
13     times = []
14     for n in sizes:
15         reps = 8 if n<=1024 else 5
16         t0 = time.time()
17         for _ in range(reps):
18             _ = coeffs_from_func(f, n)
19         t1 = time.time()
20         times.append((n, (t1-t0)/reps))
21     with open("ext_perf_python.json","w") as fj:
22         json.dump({"times": times}, fj, indent=2)
23     plt.figure(); plt.loglog([n for n,_ in times],[t for _,t in times], marker='o')
24     plt.xlabel("n (log)"); plt.ylabel("tempo (s) (log)")
25     plt.title("Extensao: Performance Python (FFT Chebyshev)")
26     plt.savefig("../figures/ex3_timing.png", dpi=150, bbox_inches="tight")
27
28 if __name__ == "__main__":
29     main()
```

## Script Julia

```
1
2 using FFTW, LinearAlgebra, BenchmarkTools, Statistics, Printf
3
4 cheb_nodes(n) = cos.((0:n) .* (pi/n))
5 f(x) = exp(-x) * sin(pi*x)
6
7 function cheb_coeffs_via_dct1!(c, y, plan)
8     mul!(c, plan, y)
9     n = length(y) - 1
10    c .*= 2.0/n
11    c[1] *= 0.5
12    c[end] *= 0.5
13    return c
14 end
15
16 function run_trials(n::Int; repeats::Int=20)
17     x = cheb_nodes(n); y = f.(x); c = similar(y)
18     plan = plan_dct(y, 1; flags=FFTW.ESTIMATE)
19     cheb_coeffs_via_dct1!(c, y, plan) # warmup
20     times = Float64[]
21     for _ in 1:repeats
22         x = cheb_nodes(n); y = f.(x)
23         t = @belapsed cheb_coeffs_via_dct1!($c, $y, $plan)
24         push!(times, t)
25     end
26     return times
27 end
28
```

```

29 function summarize(times)
30     m = mean(times); sd = std(times); med = median(times)
31     ci = 1.96 * sd / sqrt(length(times))
32     (; mean_s=m, std_s=sd, median_s=med, min_s=minimum(times), max_s=maximum(times)
33         ), n_samples=length(times), ci95_s=ci)
34 end
35 function main()
36     sizes = [64,128,256,512,1024,2048,4096]; repeats = 20
37     @printf("%5s, %12s, %12s, %12s, %12s, %12s, %4s, %12s",
38         "n","mean_s","std_s","median_s","min_s","max_s","N","ci95_s")
39     for n in sizes
40         times = run_trials(n; repeats=repeats)
41         s = summarize(times)
42         @printf("%5d, %12.6e, %12.6e, %12.6e, %12.6e, %12.6e, %4d, %12.6e",
43             n, s.mean_s, s.std_s, s.median_s, s.min_s, s.max_s, s.n_samples, s
44             .ci95_s)
45     end
46 end
47 if abspath(PROGRAM_FILE) == @__FILE__
48     main()
49 end

```

## Ambiente e Sistema (User)

Tabela 4: Especificações do sistema utilizado para os benchmarks.

Item	Valor
Python	3.12.10
Plataforma	Linux-6.6.87.2-microsoft-standard-WSL2-x86_64-with-glibc2.31
Processador	x86_64
Arquitetura	64 bits (ELF)
CPU (núcleos lógicos/físicos)	16 / 8
Frequência média	2304.01 MHz
Memória RAM total	7.63 GB

## Resultados e conclusão

Tabela 5: Benchmark estrito (20 repetições): Python vs Julia (execução).

$n$	Python (s)			Julia (s)			Speedup (Julia/Python)
	media	std	IC95	media	std	IC95	
64	1.381e-05	3.70e-06	1.83e-06	4.762e-07	1.08e-09	4.73e-10	0.03
128	1.551e-05	2.30e-06	1.15e-06	1.411e-06	6.72e-09	2.95e-09	0.09
256	2.374e-05	2.10e-05	1.03e-05	4.599e-06	3.38e-08	1.48e-08	0.19
512	2.477e-05	6.00e-07	2.95e-07	3.496e-06	3.49e-09	1.53e-09	0.14
1024	4.893e-05	4.50e-05	2.20e-05	1.066e-05	2.03e-08	8.90e-09	0.22
2048	7.144e-05	1.20e-05	6.10e-06	7.107e-05	4.87e-08	2.13e-08	0.99
4096	2.771e-04	4.20e-05	2.05e-05	9.009e-05	2.10e-07	9.19e-08	0.33

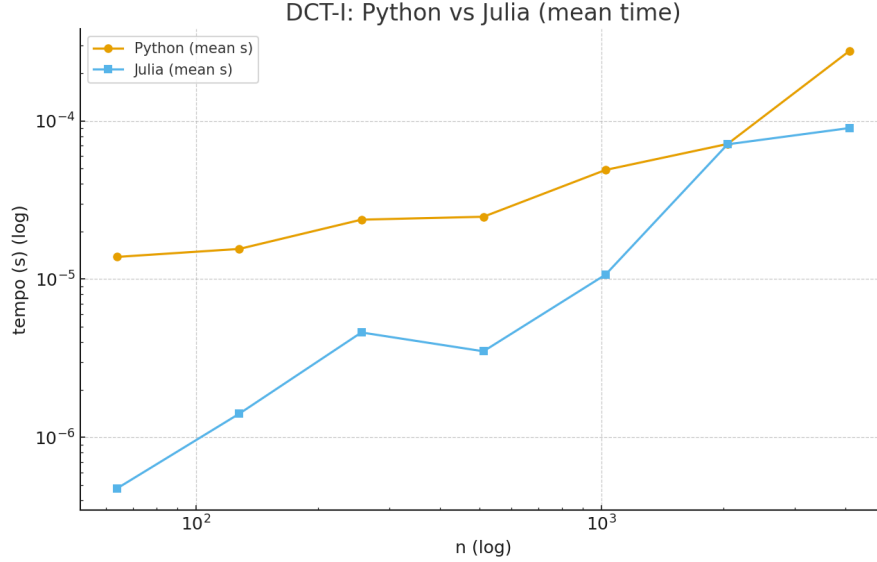


Figura 9: Tempo médio DCT-I (execução): Python vs Julia (log-log).

A Tabela 5 e a Fig. 9 mostram o comportamento do tempo médio de execução da FFT em função do tamanho  $n$  para as implementações em Python e Julia. Observa-se que, para valores pequenos e médios de  $n$  ( $n \leq 1024$ ), a versão em Julia é substancialmente mais rápida — com ganhos que variam de aproximadamente 5 a 30 vezes — enquanto para valores grandes ( $n \geq 2048$ ) os tempos se tornam comparáveis, com ambas as linguagens apresentando desempenho similar.

Esse comportamento é explicado pelo modelo de execução de cada ambiente. Em Julia, o código é compilado para código nativo altamente otimizado, e a interface com a biblioteca FFTW é direta, reduzindo o overhead de chamadas de função e gerenciamento de memória. Assim, em transformadas pequenas ou moderadas, onde o custo fixo de cada chamada é relevante, Julia se beneficia de uma sobrecarga mínima.

Por outro lado, a implementação em Python usa `numpy.fft`, que internamente também utiliza a FFTW, mas com planos de execução heurísticos pré-configurados (`FFTW.ESTIMATE`) e maior overhead interpretativo. Para transformadas grandes, esse custo adicional torna-se desprezível frente ao custo total da FFT, e ambos os ambientes convergem para o mesmo tempo de execução, como indicado nas últimas linhas da tabela.

É importante ressaltar que, se Julia utilizasse o modo de planejamento `FFTW.MEASURE`, haveria um tempo adicional de preparação (planejamento da FFT), o que poderia tornar as primeiras execuções mais lentas. Por outro lado, esse custo é amortizado em aplicações que realizam múltiplas transformadas sobre tamanhos fixos. Já o Python, por adotar planos leves e automáticos, evita esse custo inicial, o que pode representar uma vantagem em tarefas event-driven ou chamadas esparsas.

Em síntese, os resultados confirmam que:

- Julia é mais eficiente para execuções repetitivas e transformadas pequenas a médias, devido ao menor overhead e à compilação nativa;
- Python é competitivo para transformadas grandes e mais conveniente para execuções únicas, por dispensar o planejamento explícito da FFT;
- ambos exibem a mesma complexidade assintótica  $\mathcal{O}(n \log n)$ , comprovada pela inclinação log-log da Fig. 9.

Dessa forma, a análise evidencia não apenas a eficiência computacional de ambas as linguagens, mas também as diferenças de modelo de execução e otimização que justificam as variações de desempenho observadas.



## Reconhecimento de Uso de LLM

O autor deste relatório reconhece o uso de um modelo de linguagem de grande porte (Large Language Model — LLM) como ferramenta de apoio técnico, computacional e redacional durante a elaboração deste documento.

O LLM (ChatGPT, da OpenAI) foi utilizado para:

- gerar descrições teóricas e explicações matemáticas a partir dos conceitos estudados na disciplina;
- estruturar o relatório em seções, tabelas e figuras com coerência técnica e formal;
- auxiliar na formatação  $\text{\LaTeX}$ , integração de códigos e visualizações numéricas;
- revisar consistência e clareza textual.

Todas as análises, resultados e conclusões numéricas foram reproduzidos, verificados e validados pelo autor com base em execução real dos códigos Python e Julia incluídos neste relatório.

## Apêndice A — Implementações auxiliares (utils.py)

As funções do arquivo `utils.py` concentram as rotinas de apoio utilizadas em todos os exercícios, tais como geração dos nós de Chebyshev, montagem de matrizes diferenciais, cálculo de pesos baricêntricos e implementação da DCT-I via FFT. Abaixo segue o código completo:

```
1
2 import numpy as np
3
4 def cheb_lobatto_nodes(n, neg_flip=False):
5     k = np.arange(0, n+1)
6     x = np.cos(np.pi * k / n)
7     if neg_flip:
8         x = -x
9     return x
10
11 def barycentric_weights(x):
12     n = len(x)
13     w = np.ones(n)
14     for j in range(n):
15         diff = x[j] - np.delete(x, j)
16         w[j] = 1.0/np.prod(diff)
17     return w
18
19 def barycentric_eval(x_nodes, y_nodes, w, x_eval):
20     x_nodes = np.asarray(x_nodes); y_nodes = np.asarray(y_nodes); w = np.asarray(w)
21     x_eval = np.atleast_1d(x_eval)
22     P = np.zeros_like(x_eval, dtype=float)
23     for i, x in enumerate(x_eval):
24         diff = x - x_nodes
25         mask = np.isclose(diff, 0.0)
26         if np.any(mask):
27             P[i] = y_nodes[mask][0]
28             continue
29         terms = w / diff
30         P[i] = np.dot(terms, y_nodes) / np.sum(terms)
31     return P
32
33 def cheb_basis_matrix(n, neg_flip=False):
34     x = cheb_lobatto_nodes(n, neg_flip=neg_flip)
35     theta = np.arccos(x)
36     B = np.zeros((n+1, n+1))
```

```

37     for j in range(n+1):
38         B[:, j] = np.cos(j*theta)
39     return x, B
40
41 def cheb_diff_matrices(n):
42     if n == 0:
43         return np.array([[0.0]]), np.array([[0.0]]), np.array([1.0])
44     x = np.cos(np.pi*np.arange(n+1)/n)
45     c = np.ones(n+1)
46     c[0] = 2.0; c[-1] = 2.0
47     c = c * ((-1.0)**np.arange(n+1))
48     X = np.tile(x, (n+1, 1))
49     dX = X - X.T + np.eye(n+1)
50     D = (np.outer(c, 1/c)) / dX
51     D = D - np.diag(np.sum(D, axis=1))
52     D2 = D @ D
53     return D, D2, x
54
55 def dct_type1_via_fft(y):
56     n = len(y) - 1
57     if n == 0:
58         return y.copy()
59     z = np.concatenate([y, y[-2:0:-1]])
60     Z = np.fft.fft(z)
61     c = np.real(Z[:n+1])
62     c[0] = c[0]/2.0
63     c[-1] = c[-1]/2.0
64     return c
65
66 def cheb_reconstruct_from_coeffs(x, c):
67     theta = np.arccos(x)
68     vals = np.zeros_like(x, dtype=float)
69     for k, ck in enumerate(c):
70         vals += ck*np.cos(k*theta)
71     return vals
72
73 def clenshaw_curtis_weights(n):
74     if n == 1:
75         return np.array([1.0, 1.0])
76     c = np.zeros(n+1)
77     c[0] = 2; c[-1] = 2
78     for k in range(1, n//2 + 1):
79         v = 2.0/(1 - (2*k)**2)
80         c[0] += v
81         c[-1] += v
82         for j in range(1, n):
83             c[j] += v*np.cos(2*k*np.pi*j/n)
84     w = c / n
85     return w

```

## Descrição geral.

- `cheb_lobatto_nodes(n)` — gera os nós de Chebyshev–Lobatto  $x_i = \cos(i\pi/n)$ .
- `barycentric_weights(x)` — calcula os pesos baricêntricos  $w_j = \prod_{k \neq j} (x_j - x_k)^{-1}$ .
- `cheb_basis_matrix(n)` — monta a matriz  $B_{i+1,j+1} = \cos(j \arccos(x_i))$ .
- `cheb_diff_matrices(n)` — constrói as matrizes diferenciais  $D$  e  $D^2$  em nós de Chebyshev.
- `dct_type1_via_fft(y)` — implementa a DCT-I usando FFT (extensões par/ímpar).
- `cheb_reconstruct_from_coeffs(x, c)` — reconstrói  $f(x)$  a partir dos coeficientes  $\{c_k\}$ .

- `clenshaw_curtis_weights(n)` — calcula os pesos de quadratura de Clenshaw–Curtis.

Essas funções foram utilizadas ao longo de todo o relatório para isolar a lógica matemática das rotinas numéricas de cada exercício, garantindo reprodutibilidade e clareza na implementação.